

Regelungstechnik

Kurze Einführung in die Zustandsraumdarstellung

Prof. Dr. Raphael Pfaff

19. Juni 2020

Fachhochschule Aachen

Einführung Zustandsraum

- Zustandsvariablen $x_i(t)$:
 - Energiegehalt der Speichersysteme
 - Bilden Zustandsvektor $x(t)$
- $x(t_0)$ enthält alle Informationen über System zum Zeitpunkt t_0
- Überführung der DGL n -ter Ordnung in n DGL 1. Ordnung
- Hier betrachtet:
single-input-single-output
(SISO) System

Zustandsraumdarstellung:

Zeitkontinuierlich

$$\dot{x}(t) = Ax(t) + Bu(t) \quad (1)$$

$$y(t) = Cx(t) + Du(t) \quad (2)$$

Zeitdiskret

$$x_{k+1} = Ax_k + Bu_k \quad (3)$$

$$y_k = Cx_k + Du_k \quad (4)$$

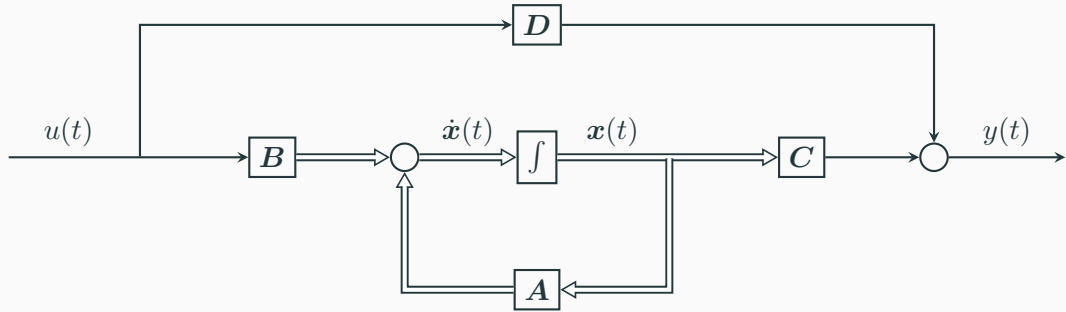
- $A \in \mathbb{R}^{n \times n}$: Systemmatrix
 - Systeminformationen, z.B. Polstellen, Beobachtbarkeit, ...
- $B \in \mathbb{R}^{n \times 1}$: Eingangsvektor
 - Wirkung von u auf System
- $C \in \mathbb{R}^{1 \times n}$: Ausgangsvektor
 - Wirkung von x auf Ausgang
- $D \in \mathbb{R}$: Feedforward term
 - Direkte Wirkung von u auf Ausgang

$$\dot{x}(t) = Ax(t) + Bu(t)$$

$$y(t) = Cx(t) + Du(t)$$

- $x(t) \in \mathbb{R}^{n \times 1}$: Zustandsvektor
 - Zustand der Energiespeicher
- $u(t) \in \mathbb{R}$: Eingangswert in System
- $y(t) \in \mathbb{R}$: Ausgangswert des Systems

Blockdiagramm für SISO-System



Vorteile/Nachteile Zustandsraumdarstellung

- + Reichhaltige Beschreibung: interne Werte des Systems werden modelliert
- + Vollständige Abbildung des Systemzustands durch die x_i
- + Digitale Regler im Zustandsraum performanter
- + Für Energieeffizienz: Energiegehalt des System wird modelliert
- + Zustand hat häufig physikalische Bedeutung
 - Zustandsraumdarstellung nicht eindeutig
 - Teils numerisch/analytisch aufwendig

Normalformen

Regelungsnormalform (control canonical form)

$$\begin{aligned}\frac{d^n y}{dt^n} + a_{n-1} \frac{d^{n-1} y}{dt^{n-1}} + \cdots + a_1 \frac{dy}{dt} + a_0 y \\ = b_n \frac{d^n u}{dt^n} + b_{n-1} \frac{d^{n-1} u}{dt^{n-1}} + \cdots + b_1 \frac{du}{dt} + b_0 u\end{aligned}$$

$$A = \begin{pmatrix} 0 & 1 & 0 & \cdots & 0 \\ 0 & 0 & 1 & \cdots & 0 \\ \vdots & \vdots & \vdots & \ddots & \vdots \\ 0 & 0 & 0 & \cdots & 1 \\ -a_0 & -a_1 & -a_2 & \cdots & -a_{n-1} \end{pmatrix}$$

$$C = \begin{pmatrix} b_0 - b_n a_0 & b_1 - b_n a_1 & \cdots & b_{n-1} - b_n a_{n-1} \end{pmatrix}$$

$$B = \begin{pmatrix} 0 \\ 0 \\ \vdots \\ 0 \\ 1 \end{pmatrix}$$

$$D = b_n$$

Beobachtungsnormalform (observer canonical form)

$$\begin{aligned}\frac{d^n y}{dt^n} + a_{n-1} \frac{d^{n-1} y}{dt^{n-1}} + \cdots + a_1 \frac{dy}{dt} + a_0 y \\ = b_n \frac{d^n u}{dt^n} + b_{n-1} \frac{d^{n-1} u}{dt^{n-1}} + \cdots + b_1 \frac{du}{dt} + b_0 u\end{aligned}$$

$$A = \begin{pmatrix} 0 & \cdots & 0 & 0 & -a_0 \\ 1 & \cdots & 0 & 0 & -a_1 \\ \vdots & \ddots & \vdots & \vdots & \vdots \\ 0 & \cdots & 1 & 0 & -a_{n-2} \\ 0 & \cdots & 0 & 1 & -a_{n-1} \end{pmatrix}$$

$$C = \begin{pmatrix} 0 & 0 & \cdots & 0 & 1 \end{pmatrix}$$

$$B = \begin{pmatrix} b_0 - b_n a_0 \\ b_1 - b_n a_1 \\ b_2 - b_n a_2 \\ \vdots \\ b_{n-1} - b_n a_{n-1} \end{pmatrix}$$

$$D = b_n$$

Jordan Normalform (modal canonical form)

- Für System mit Polstellen λ_i
- Transferfunktion $G(s) = \sum_{i=1}^n \frac{c_i}{s-\lambda_i}$

$$A = \begin{pmatrix} \lambda_1 & 0 & \cdots & 0 \\ 0 & \lambda_2 & \cdots & 0 \\ \vdots & \vdots & \ddots & \vdots \\ 0 & 0 & \cdots & \lambda_n \end{pmatrix}$$

$$C = \begin{pmatrix} c_1 & c_2 & \cdots & c_n \end{pmatrix}$$

$$B = \begin{pmatrix} 1 \\ 1 \\ \vdots \\ 1 \end{pmatrix}$$

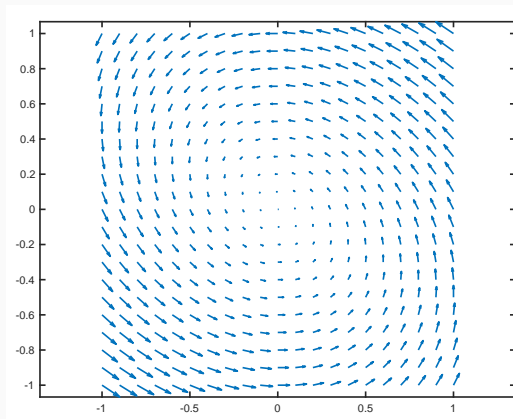
Richtungsfeld

Das Richtungsfeld einer DGL

- DGL zweiten Grades bzw. System zweiter Ordnung
- Zu jedem Punkt $(x_1, x_2)^T$ lässt sich die Steigung $(\dot{x}_1, \dot{x}_2)^T$ bestimmen:

$$\begin{pmatrix} \dot{x}_1 \\ \dot{x}_2 \end{pmatrix} = \begin{pmatrix} a_{11} & a_{12} \\ a_{21} & a_{22} \end{pmatrix} \begin{pmatrix} x_1 \\ x_2 \end{pmatrix}$$

- Mit dem Richtungsfeld lässt sich eine Lösung graphisch bestimmen

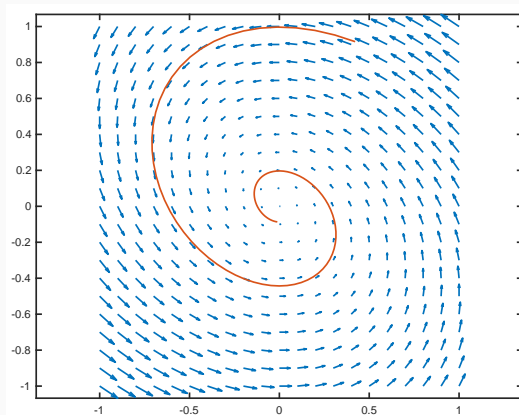


Das Richtungsfeld einer DGL

- DGL zweiten Grades bzw. System zweiter Ordnung
- Zu jedem Punkt $(x_1, x_2)^T$ lässt sich die Steigung $(\dot{x}_1, \dot{x}_2)^T$ bestimmen:

$$\begin{pmatrix} \dot{x}_1 \\ \dot{x}_2 \end{pmatrix} = \begin{pmatrix} a_{11} & a_{12} \\ a_{21} & a_{22} \end{pmatrix} \begin{pmatrix} x_1 \\ x_2 \end{pmatrix}$$

- Mit dem Richtungsfeld lässt sich eine Lösung graphisch bestimmen



Eigenwerte und Polstellen

- Eigenwerte:
 - Können Polstellen des Systems sein
 - Ggf. Kürzung gegen Nullstellen des Systems
 - Bestimmung mittels charakterischem Polynom $\chi_A(\lambda)$
 - Polstellen reell oder paarweise komplex

$$\begin{aligned}\chi_A(\lambda) &= \det(\lambda \text{Id} - A) \\ &= \det \left(\begin{pmatrix} \lambda & 0 & \cdots & 0 \\ 0 & \lambda & \cdots & 0 \\ \vdots & \vdots & \ddots & \vdots \\ 0 & 0 & \cdots & \lambda \end{pmatrix} - \begin{pmatrix} a_{1,1} & a_{1,2} & \cdots & a_{1,n} \\ a_{2,1} & a_{2,2} & \cdots & a_{2,n} \\ \vdots & \vdots & \ddots & \vdots \\ a_{n,1} & a_{n,2} & \cdots & a_{n,n} \end{pmatrix} \right) = 0\end{aligned}\quad (5)$$

- Definiere für $A \in \mathbb{R}^{n \times n}$ die unendliche Reihe

$$\exp (At) = \text{Id} + At + A^2 \frac{t^2}{2!} + A^3 \frac{t^3}{3!} + \dots \quad (6)$$

- Dann erfüllt

$$x(t) = \exp (At) x_0 + \exp (At) \int_0^t \exp (-A\tau) Bu(\tau) d\tau \quad (7)$$

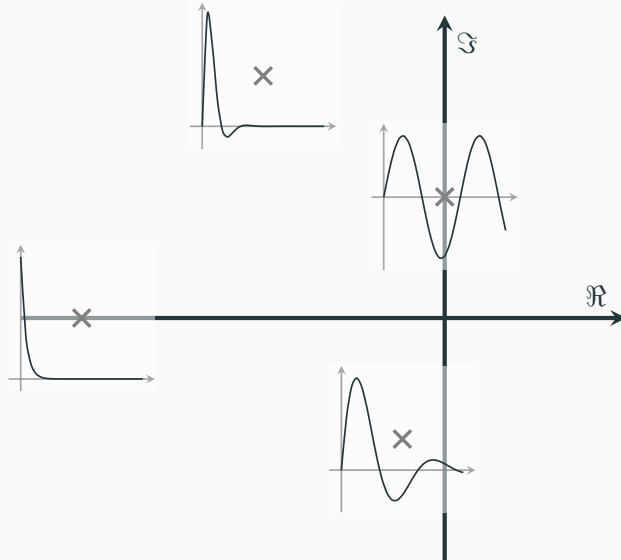
die Differentialgleichung

$$\frac{d}{dt}x(t) = Ax(t) + Bu(t) \quad (8)$$

- Für diagonalisierbare Matrizen $A = UDU^{-1}$, d.h. χ_A hat n komplexe Nullstellen $\lambda_i \in \mathbb{C}$:

$$\exp(A) = U \exp(D) U^{-1} = U \begin{pmatrix} \exp(\lambda_1 t) & 0 & \cdots & 0 \\ 0 & \exp(\lambda_2 t) & \cdots & 0 \\ \vdots & \vdots & \ddots & \vdots \\ 0 & 0 & \cdots & \exp(\lambda_n t) \end{pmatrix} U^{-1} \quad (9)$$

Interpretation von Polstellen (zeitkontinuierliche Systeme)



Steuerbarkeit

Definition (Zustandssteuerbarkeit)

Ein System (1), (2) bzw. (3),(4) ist dann vollständig zustandssteuerbar, wenn es für jeden Anfangszustand $x(t_0)$ eine Steuerfunktion $u(t)$ gibt, die das System innerhalb einer endlichen Zeitspanne $t_0 \leq t \leq t_1$ in den Endzustand $x(t_1) = 0$ überführt.

Dies gilt genau dann, wenn

$$\text{rg} [B|AB|\cdots|A^{n-1}B] = n \quad (10)$$

Es wird $[B|AB|\cdots|A^{n-1}B]$ die Steuerbarkeitsmatrix genannt.

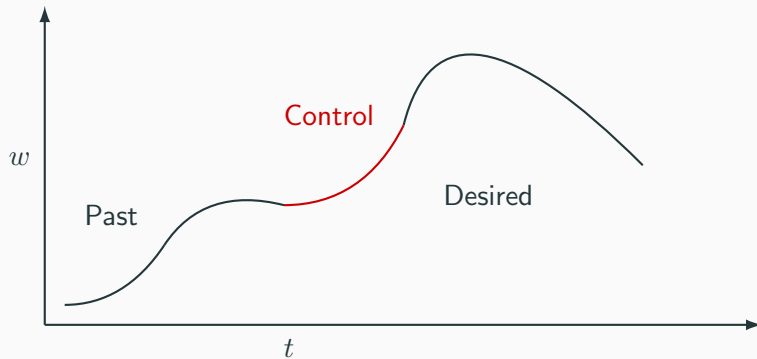
Definition (Ausgangssteuerbarkeit)

Ein System (1), (2) bzw. (3),(4) ist dann vollständig ausgangssteuerbar, wenn es für jeden Anfangswert $y(t_0)$ eine Steuerfunktion $u(t)$ gibt, die das System innerhalb einer endlichen Zeitspanne $t_0 \leq t \leq t_1$ in den Endwert $y(t_1)$ überführt.

Dies gilt für ein System mit m Ausgangswerten genau dann, wenn

$$\text{rg} [CB|CAB|CA^2B|\dots|CA^{n-1}B|D] = m \quad (11)$$

Grafische Interpretation von Steuerbarkeit



Definition (Beobachtbarkeit)

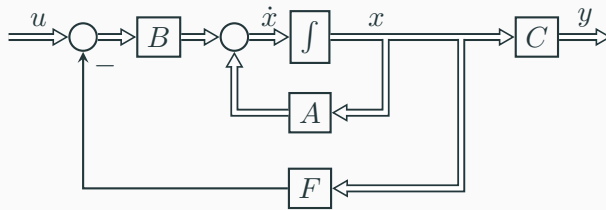
Ein System (1), (2) bzw. (3),(4) ist dann vollständig beobachtbar, wenn bei bekannter äußerer Beeinflussung $Bu(t)$ und bekannten Matrizen A und C aus dem Ausgangsvektor $y(t)$ über einem endlichen Zeitintervall $t_0 \leq t \leq t_1$ den Anfangszustand $x(t_0)$ eindeutig bestimmen kann.

Dies gilt genau dann, wenn

$$\operatorname{rg} \begin{pmatrix} C \\ CA \\ \vdots \\ CA^{n-1} \end{pmatrix} = n \quad (12)$$

Es wird $\begin{pmatrix} C^T & (CA)^T & \dots & (CA^{n-1})^T \end{pmatrix}^T$ die Beobachtbarkeitsmatrix genannt.

Regelung im Zustandsraum

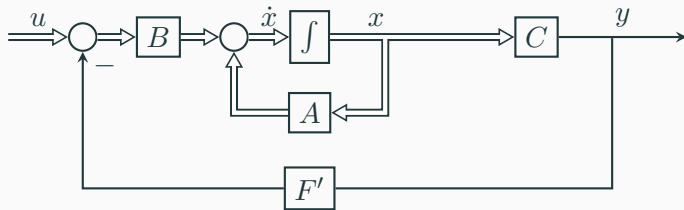


Zustandsraumdarstellung für $D = 0$:

$$\frac{dx}{dt} = (A - BF)x + Bu \quad (13)$$

$$y = Cx \quad (14)$$

Regelkreis mit Ausgangsrückführung



Zustandsraumdarstellung für $D = 0$:

$$\frac{dx}{dt} = (A - BF'C)x + Bu \quad (15)$$

$$y = Cx \quad (16)$$

■ Vorteile

- (Fast) vollständige Systembeeinflussung:
 - A überführt in $(A - BF)$ bzw. $(A - BF'C)$
- Weitestgehend algebraische Rechenoperationen
- Einfache Implementierung im Controller
- Intuitive Modellierung des Energiegehalts

■ Nachteile

- Reglervorgabe (Eigenwerte) unüblich
- Zustandsmessung oder Beobachter nötig
- Genaue Kenntnis der Systemparameter notwendig



G. F. Franklin, J. D. Powell, and A. Emami-Naeini.

Feedback Control of Dynamic Systems.

Pearson, 2010.



L. Ljung.

System Identification: Theory for the User.

Upper Saddle River, NJ: PTR Prentice Hall, 1999.



J. Lunze.

Regelungstechnik 1–Systemtheoretische Grundlagen, Analyse und Entwurf einschleifiger Regelungen.

Springer, 2014.



J. Lunze.

Regelungstechnik 2: Mehrgrößensysteme, Digitale Regelung.

Springer, 2014.



H. Unbehauen.

Regelungstechnik II.

Friedr. Vieweg und Sohn, 2007.